

مجله علوم آماری، بهار و تابستان ۱۳۹۵

جلد ۱۰، شماره ۱، ص ۲۰-۱

DOI: 10.7508/jss.2016.01.001

یک مدل تعمیم یافته برای ارزیابی قابلیت اعتماد نرم افزار براساس فرایند پواسون ناهمگن

شیوا اختربیان، طاهره یعقوبی

گروه مهندسی کامپیوتر و فناوری اطلاعات، دانشگاه پیام نور

تاریخ دریافت: ۱۳۹۴/۸/۱۲ تاریخ آخرین بازنگری: ۱۳۹۴/۶/۲۴

چکیده: با توجه به کاربردهای گسترده سیستم‌های نرم افزاری، لزوم تولید نرم افزارهای تقریباً بدون خطا و با کیفیت بالا بیش از پیش اهمیت پیدا کرده است. قابلیت اعتماد نرم افزار یک رهیافت مهم برای ارزیابی کیفیت نرم افزار در نظر گرفته می‌شود. مدل‌سازی قابلیت اعتماد نرم افزار براساس فرایند پواسون ناهمگن یکی از روش‌های کاملاً موفق در مهندسی قابلیت اعتماد نرم افزار می‌باشد. در این مقاله ابتدا مدل عمومی رشد قابلیت اعتماد بررسی می‌شود. سپس با در نظر گرفتن دو نوع خطای ساده و پیچیده و لحاظ کردن وابستگی بین خطاهای پیچیده و نیز تاخیر زمانی بین کشف و حذف خطاهای پیچیده به ارائه یک مدل تعمیم یافته قابلیت اعتماد نرم افزار پرداخته می‌شود. برآورد پارامترهای مدل پیشنهادی با استفاده از مجموعه داده‌های شکست دو پروژه نرم افزاری واقعی و از طریق نرم افزار MATLAB انجام می‌شود. در پایان مدل پیشنهادی با دو مدل موجود با استفاده از معیارهای مختلف مقایسه می‌شود. نتایج نشان می‌دهد مدل ارائه شده در این تحقیق بر روی این مجموعه داده‌ها بهتر برآشش شده، اطلاعات دقیق‌تری در مورد کیفیت

آدرس الکترونیک مسئول مقاله: طاهره یعقوبی، t.yaghoobi@pnu.ac.ir

کد موضوع بنای ریاضی (۲۰۱۰): ۶۲P۳۰

۲ یک مدل تعیین یافته برای ارزیابی قابلیت اعتماد نرم افزار

نرم افزار ارائه می کند.

واژه های کلیدی : قابلیت اعتماد نرم افزار، فرایند پواسون ناهمگن، خطاهای ساده و پیچیده، وابستگی خطاهای تاخیر زمان، اشکال زدایی کامل.

۱ مقدمه

امروزه نرم افزارها نقش بسیار مهمی در سیستم هایی با کاربردهای حساس همچون پژوهشگران، صنایع نظامی و راکتورهای هسته ای پیدا کرده اند، بنابراین خطرات و اثرات ناشی از شکست های نرم افزار می توانند جبران ناپذیر باشد. وجود چنین موقعیت هایی سازندگان سیستم های نرم افزاری را بر آن داشته است تا کیفیت نرم افزار را قبل از ارائه مخصوص به بازار و در مرحله تکمیل پروژه بررسی کنند. یک معیار مهم در بررسی کیفیت نرم افزار تعیین کمی میزان قابلیت اعتماد نرم افزار است. قابلیت اعتماد نرم افزار احتمال عملکرد بدون شکست یک برنامه کامپیوترا در محیطی مشخص برای زمانی معین تعریف می شود. باید توجه داشت یک سیستم کامپیوترا شامل دو مولفه سخت افزار و نرم افزار است. به گفته زاک (۱۹۹۲) قابلیت اعتماد نرم افزار از این جهت با قابلیت اعتماد سخت افزار مشابه است که هر دو به وسیله توابع توزیع احتمال توصیف می شوند. ولی سیستم های نرم افزاری برخلاف سیستم های سخت افزاری به معنای فیزیکی خراب نمی شوند. در سیستم های سخت افزاری بخش مهمی از خرابی ها به دلیل از کار افتادگی و استهلاک قطعات است، در حالی که خطاهای نرم افزاری بیشتر ناشی از اشتباہات ذهنی سازندگان آن است و سالخوردگی و استهلاک در نرم افزار وجود ندارد. همچنین خطاهای نرم افزاری سخت تر از خطاهای سخت افزاری قابل کشف و تصحیح هستند. بنابراین مدل های به کار رفته در اندازه گیری قابلیت اعتماد سیستم های سخت افزاری نمی توانند برای اندازه گیری قابلیت اعتماد نرم افزار مورداستفاده قرار گیرند (فام، ۲۰۰۶).

قابلیت اعتماد یک نرم افزار به فرایند کشف خطاهای و حذف آنها بستگی دارد. در مدل سازی قابلیت اعتماد نرم افزار فرض بر این است که وقوع شکست ها و

شیوا اختریان، طاهره یعقوبی ۳.....

عیب‌یابی آن‌ها رویدادهای تصادفی هستند، بدین صورت که نرم‌افزار می‌تواند به عنوان تابعی در نظر گرفته شود که فضای ورودی را به فضای خروجی می‌نگارد. پس می‌توان مقادیر ورودی برای آزمون نرم‌افزار را به صورت تصادفی وارد کرد. وقتی مقادیر ورودی خطاهای را فعال می‌کنند، آنگاه شکست‌ها نیز به صورت تصادفی نمایان می‌شوند. بنابراین قابل قبول است که از مدل‌های احتمالی برای مدل‌سازی فرایند شکست‌های نرم‌افزار استفاده شود. پژوهشگران فرایند کشف و بطرف کردن خطاهای با هدف بهبود کیفیت نرم‌افزار را به وسیله روابط ریاضی مناسب توصیف می‌کنند. این روابط به نام مدل‌های قابلیت اعتماد نرم‌افزار^۱ (SRM) شناخته می‌شوند. هدف نهایی از ایجاد این مدل‌ها آن است که پیش‌بینی قابلیت اعتماد نرم‌افزارها را در مرحله اجرا، براساس داده‌های شکستی که به وسیله موارد نمونه در مرحله آزمون جمع‌آوری شده‌اند ممکن سازند. پیش‌بینی قابلیت اعتماد نرم‌افزار به کاربران نیز کمک می‌کند تا با اطمینان کافی برای خرید نرم‌افزار هزینه کنند.

اکثر مدل‌های رشد قابلیت اعتماد نرم‌افزار^۲ (SRGM) مبتنی بر فرایند پواسون ناهمگن^۳ (NHPP)، نمودار قابلیت اعتماد را به یکی از دو صورت مقعر یا S شکل نمایش می‌دهند (فام، ۲۰۰۶؛ کاپور و همکاران، ۲۰۱۱ و یامادا، ۲۰۱۴). اگر قابلیت اعتماد دارای رشد یکنواخت باشد از مدل‌های مقعر، در غیر این صورت از مدل‌های S شکل استفاده می‌شود. گوئل و آکوموتو (۱۹۸۵) مدل مقعر G-O (مدل نمایی) را ارائه کردند که در آن فرض می‌شود کلیه خطاهای نرم‌افزار از یکدیگر مستقل و احتمال کشف خطا در واحد زمان ثابت (مستقل از زمان) است. همچنین خطاهای به محض شناسایی حذف و خطای جدیدی در این حین بروز نمی‌کند که به آن اشکال زدایی کامل گویند. مدل‌های اشکال‌زدایی کامل توسط گوئل (۱۹۸۵) و لای و گارج (۲۰۱۲) مورد بررسی و تحقیق قرار گرفتند. در مدل S شکل بررسی شده توسط یامادا (۲۰۰۰) و یامادا و همکاران (۱۹۸۴) نیز خطاهای به محض شناسایی حذف می‌شوند و اشکال‌زدایی کامل است. با این تفاوت که نرخ کشف خطا ثابت نبوده و

^۱ Software Reliability Model

^۲ Software Reliability Growth Model

^۳ Non Homogeneous Poisson Process

۴ یک مدل تعیین یافته برای ارزیابی قابلیت اعتماد نرم افزار

وابسته به زمان می باشد. در مدل S شکل تاخیری ارائه شده توسط یامادا و همکاران (۱۹۸۳) به این نکته مهم توجه می شود که با گذشت زمان تیم آزمون کننده نرم افزار با محیط آزمون، ابزارهای آزمون، نیازمندی های پروژه و ... آشنایی بیشتری پیدا می کند و بدین ترتیب فرایند آزمون نرم افزار پس از گذشت زمان بهبود می یابد. در این مدل فرض می شود که خطاهای از نقطه نظر کشف شکست مستقل از یکدیگر هستند، اما در فرایند کشف خطا زمان بین (۱ - i)امین و nامین شکست بستگی به زمان وقوع (۱ - i)امین شکست دارد.

در برخی مدل هایی که توسط پژوهشگران ایجاد شده اند خطاهای شناسایی شده از نظر میزان پیچیدگی یا وابستگی بین آن ها تقسیم بندی می شوند. به عنوان مثال ایده وابستگی خطاهای را اهبا (۱۹۸۴) مطرح کرد. با این فرض که خطاهای مستقل بلافاصله پس از شناسایی قابل حذف هستند، اما خطاهای وابسته پیش از حذف خطاهایی که به آن وابسته اند قابل حذف شدن نیستند. پس از آن کاپور و یونس (۱۹۹۵) نیز وابستگی خطاهای را در مدل نمایی گوئل و آکوموتو (۱۹۸۱) تاثیر دادند، البته با توجه به این نکته که نمی توان از عامل تاخیر زمان بین کشف تا حذف خطاهای وابسته چشم پوشی کرد، موضوع تاثیر عامل تاخیر زمانی در حذف خطاهای وابسته را در نظر گرفتند. کاپور و همکاران (۱۹۹۹) مرحله آزمون نرم افزار را شامل سه فرایند مشاهده شکست، ایزوله کردن خطا و حذف خطا در نظر گرفتند و مدل SRGM را پیشنهاد دادند که در آن حذف و اصلاح خطاهای براساس سطح پیچیدگی آن ها متمایز می باشد و مشتمل بر سه نوع خطا است. خطاهای نوع اول که ساده هستند و هیچ تاخیر زمانی بین مراحل مشاهده شکست تا حذف این دسته از خطاهای تاخیر داده نمی شود و توسط مدل نمایی گوئل و آکوموتو (۱۹۸۱) مدل سازی می شوند. خطاهای نوع دوم خطاهای سخت هستند که بین مشاهده شکست و ایزوله کردن این دسته از خطاهای تاخیر زمان تاثیر داده می شود و توسط مدل S شکل تاخیری مدل سازی می شوند و خطاهای نوع سوم خطاهای پیچیده اند و تاخیر زمان بین هر سه مرحله مشاهده شکست، ایزوله کردن خطا و حذف خطا تاخیر داده می شود. هانگ و لین (۲۰۰۴ و ۲۰۰۶) خطاهای را به دو دسته مستقل و وابسته تقسیم نموده و برای مدل سازی وابستگی خطاهای عامل های تاخیر متمایزی برای تاثیر در

شیوا اختریان، طاهره یعقوبی ۵

حذف خطاهای وابسته برسی کرده‌اند. سپس تاثیر وابستگی خطاهای و عامل تاخیر بر تعدادی از مدل‌های پایه رشد قابلیت اعتماد نرم‌افزار براساس NHPP مورد تحلیل قرار گرفت.

در این مقاله مدلی ارائه می‌شود که در آن خطاهای نرم‌افزاری از دو منظر میزان پیچیدگی و وابستگی بین آن‌ها به سه نوع خطا تقسیم‌بندی می‌شوند. از نظر میزان پیچیدگی، خطاهای ابتدا به دو دسته ساده و پیچیده تقسیم می‌شوند. خطای ساده به خطای اطلاق می‌شود که بلافاصله و به سادگی بعد از شناسایی قابل حذف است. برای خطاهای پیچیده، امکان وابستگی بین آن‌ها در نظر گرفته می‌شود. سپس با توجه به اینکه خطاهای پیچیده بلافاصله بعد از کشف، قابل حذف نیستند و ممکن است ماهها زمان و تلاش برای حذف آن‌ها نیاز باشد عامل تاخیر زمان بین کشف تا حذف این نوع خطاهای در نظر گرفته می‌شود. بنابراین در مدل پیشنهادی خطاهای نرم‌افزاری به سه دسته ساده، پیچیده مستقل و پیچیده وابسته تقسیم می‌شوند. برای هر دسته، با توجه به نوع خطا مدل مناسب قابلیت اعتماد پیشنهاد می‌شود و مدل کلی قابلیت اعتماد نرم‌افزار برابر مجموع سه مدل فرض شده در نظر گرفته می‌شود.

بخش ۲ به توضیح پیرامون چارچوب نظری قابلیت اعتماد نرم‌افزار براساس NHPP اختصاص یافته است. در بخش ۳ مدل پیشنهادی همراه با پارامترها و پذیره‌های آن ارائه می‌شود. در بخش ۴ پارامترهای مدل پیشنهادی بر روی داده‌های شکست واقعی دو نرم‌افزار برآورد می‌شوند. در بخش ۵ مدل پیشنهادی با دو مدل پایه در زمینه قابلیت اعتماد نرم‌افزار مقایسه می‌شوند. سرانجام در بخش ۶ بحث و نتیجه‌گیری ارائه می‌شود.

۲ چارچوب نظری تحقیق

جهت تخمین قابلیت اعتماد نرم‌افزارها ابتدا مدل قابلیت اعتماد نرم‌افزار ایجاد می‌شود، سپس باید پارامترهای موجود در مدل برآورد شوند. در نهایت می‌توان توسط مدل ایجاد شده، قابلیت اعتماد نرم‌افزار را تخمین زد و زمان مناسب عرضه نرم‌افزار به بازار را پیش‌بینی نمود.

۶ یک مدل تعیین یافته برای ارزیابی قابلیت اعتماد نرم افزار

۱.۲ مدل سازی عمومی قابلیت اعتماد نرم افزار

مدل های قابلیت اعتماد براساس NHPP ابزارهای کاملاً موفق در مهندسی قابلیت اعتماد نرم افزار هستند. برای مثال به کاپور و همکاران (۲۰۱۱)، لای و گارج (۲۰۱۲) و یاماذا (۲۰۱۴) مراجعه شود. فرض اساسی در این مدل ها این است که فرایند شکست به وسیله NHPP قابل توصیف است. در اکثر مدل های رشد قابلیت اعتماد نرم افزار با توجه به فرایند کشف خطا پذیره های کلی به شرح ذیل در نظر گرفته می شوند:

- ۱- سیستم نرم افزاری محل وقوع شکست هایی با زمان تصادفی می باشد که توسط نقص های موجود در نرم افزار ایجاد می شوند.
- ۲- رخداد کشف یا حذف خطا به وسیله NHPP مدل سازی می شود.
- ۳- تمام خطاها از یکدیگر مستقل بوده و به یک میزان قابل شناسایی هستند.
- ۴- تعداد خطاها کشف شده در هر زمان متناسب با تعداد خطاها باقیمانده در نرم افزار است.
- ۵- هر زمان که شکستی رخ می دهد خطایی که منجر به آن شده بلا فاصله و به طور کامل حذف می شود و خطای جدیدی در این حین بروز نمی کند (اشکال زدایی کامل).

فرض کنید $N(t)$ تعداد خطاها کشف شده تا زمان t و $m(t)$ میانگین تعداد خطاها کشف شده تا زمان t ، یاتابع مقدار میانگین^۴ (MVF) باشد. در حقیقت SRM تابع مقدار میانگین یک NHPP است. احتمال این که دقیقاً n شکست در بازه زمانی $(0, t)$ رخ دهد به صورت

$$Pr\{N(t) = n\} = \frac{[m(t)]^n}{n!} e^{-m(t)}, \quad n = 0, 1, \dots$$

است، که در آن $m(t) = \int_0^t \lambda(s)ds$ و $\lambda(t)$ تابع شدت شکست نرم افزار (تعداد شکست ها در واحد زمان) است، به طوری که

$$\frac{dm(t)}{dt} = \lambda(t)$$

^۴ Mean Value Function

شیوا اختریان، طاهره یعقوبی^۱

بنابراین مدل کلی قابلیت اعتماد مبتنی بر NHPP از حل معادله دیفرانسیل

$$\lambda(t) = \frac{dm(t)}{dt} = b(t)[a - m(t)] \quad (1)$$

با شرط اولیه $m(0) = 0$ به دست می‌آید، که در آن a تعداد کل خطاها برآورده شده موجود در نرم‌افزار قبل از انجام آزمون، $[a - m(t)]$ متوسط تعداد خطاها باقیمانده در نرم‌افزار تا زمان t و $b(t)$ نرخ کشف خطا در واحد زمان^۵ است.

جواب عمومی معادله دیفرانسیل (1) به صورت

$$m(t) = e^{-\beta(t)}[C + \int ab(t)e^{\beta(t)}dt] \quad (2)$$

است، که در آن $\beta(t) = \int b(t)dt$ و ثابت انتگرال‌گیری است. در نهایت قابلیت اعتماد نرم‌افزار از طریق فرمول

$$R(t) = e^{-\int_0^t \lambda(s)}$$

به دست می‌آید. برای مثال کاپور و همکاران (۲۰۱۱) و گوئل (۱۹۸۵) مدل نمایی گوئل-آکوموتو و مدل S شکل تاخیری را به صورت جدول ۱ بیان نمودند.

جدول ۱: جزئیات مدل گوئل-آکوموتو و مدل S شکل تاخیری

مدل	$[a - m(t)]$	$\lambda(t)$	$b(t)$	$m(t)$
نمایی	ae^{-bt}	abe^{-bt}	b	$a(1 - e^{-bt})$
شکل تاخیری S	$a(1 + bt)e^{-bt}$	$ab^{\frac{1}{b}}te^{-bt}$	$\frac{b^{\frac{1}{b}}t}{bt+1}$	$a[1 - (1 + bt)e^{-bt}]$

۲.۲ برآورد پارامترهای مدل‌های قابلیت اعتماد نرم‌افزار

مدل‌های قابلیت اعتماد نرم‌افزار دارای پارامترهای ناشناخته‌ای هستند که با استفاده از داده‌های شکست و معمولاً با روش ماکسیمم درستنمایی^۶ (MLE) برآورده می‌شوند. فرض کنید $y_i, i = 1, \dots, n$ که مجموع شکست‌های مشاهده شده واقعی

^۵ Fault Detection Rate

^۶ Maximum Likelihood Estimation

یک مدل تعمیم یافته برای ارزیابی قابلیت اعتماد نرم افزار ۸

در بازه های زمانی (t_i, t_{i+1}) ، y_i باشد که $t_1 < \dots < t_n$. در این صورت لگاریتم تابع درستنما^۷ (LLF) به صورت

$$LLF = \sum_{i=1}^n (y_i - y_{i-1}) \log[m(t_i) - m(t_{i-1})] - m(t_n)$$

خواهد بود. فام (۲۰۰۶) معادله

$$\circ = \sum_{i=1}^n \frac{\frac{\partial}{\partial \theta} m(t_i) - \frac{\partial}{\partial \theta} m(t_{i-1})}{m(t_i) - m(t_{i-1})} (y_i - y_{i-1}) - \frac{\partial}{\partial \theta} m(t_n)$$

را برای به دست آوردن ماکسیمم تابع درستنما^۷ به دست آورد، که در آن θ پارامتر مجھول مدل است.

به منظور محاسبه واریانس برآورد ماکسیمم درستنما^۷ پارامترها، ماتریس هسین با گرفتن مشتقهای جزئی مرتبه دوم از لگاریتم تابع درستنما^۷ تشکیل می شود. ماتریس اطلاع فیشر، قرینه امید ریاضی این ماتریس است. از آنجایی که برخی از درایه های ماتریس مذکور فرم بسیار پیچیده ای دارند و محاسبه امید ریاضی آنها امکان پذیر نیست، از قانون قوی اعداد بزرگ برای محاسبه امید ریاضی ماتریس هسین استفاده می شود. به این ترتیب که m مشاهده نمونه ای $(N_i(t))_{1 \leq i \leq m}$ به طور مستقل به دست آورده می شود. سپس با جایگذاری در ماتریس هسین، برآورد ماتریس اطلاع فیشر به صورت

$$I(\theta) \cong -\frac{1}{m} \sum_{i=1}^m H(\theta | (N_i(t))_{1 \leq t \leq n})$$

محاسبه می گردد، که در آن $(N_i(t))_{1 \leq t \leq n}$ تحقیق های مستقل از فرایند پواسون با پارامتر $m(t)$ و θ بردار پارامترهای آن است. در این صورت کران پاییس کرامر-رائو برای ماتریس واریانس-کوواریانس بردار برآوردها پارامترها برابر با $(\theta)^{-1} I^{-1}$ است.

^۷ Log Likelihood Function

شیوا اختریان، طاهره یعقوبی ۹

۳.۲ پیش‌بینی زمان عرضه نرم‌افزار به بازار

یکی از کاربردهای پیش‌بینی قابلیت اعتماد نرم‌افزار، تعیین زمان مناسب برای خاتمه آزمون نرم‌افزار و عرضه محصول نرم‌افزاری به بازار است. با توجه به نظر گوئل و آکوموتو (۱۹۸۱) اگر نرم‌افزار به حد قابل قبولی از قابلیت اعتماد در بازه زمانی مشخصی طی فرایند آزمون نرم‌افزار رسیده باشد، آنگاه می‌توان برای انتشار آن به بازار تصمیم‌گیری کرد. برای رسیدن به این هدف ازتابع قابلیت اعتماد شرطی $R(x|t)$ استفاده می‌شود. این تابع با فرض اینکه آخرین شکست در زمان t رخ داده باشد، احتمال عدم بروز شکست در بازه زمانی $(t, t+x)$ را به صورت

$$R(x|t) = \Pr\{N(t+x) - N(t) = 0\} = e^{[m(t+x) - m(t)]}$$

مشخص می‌کند.

۳ مدل پیشنهادی

در این بخش ابتدا پارامترهای مدل و سپس پذیره‌های آن ارائه می‌شود و در نهایت مدل جدید با توجه به پذیره‌های ارائه شده مدل‌سازی می‌شود. این مدل شامل دو نوع پارامتر مستقل از زمان و وابسته به زمان به صورت زیر است:

a : تعداد کل خطاهای برآورد شده اولیه موجود در نرم‌افزار

a_1, a_2, a_3 : تعداد کل خطاهای برآورد شده ساده، پیچیده مستقل، پیچیده وابسته

b_1, b_2, b_3 : نرخ کشف خطاهای ساده، پیچیده مستقل، پیچیده وابسته

p : نسبت خطاهای ساده به پیچیده در نرم‌افزار

q : نسبت خطاهای پیچیده مستقل به پیچیده وابسته

$\varphi_1(t)$: فاکتور تاخیر زمانی خطاهای پیچیده مستقل

$\varphi_2(t)$: فاکتور تاخیر زمانی خطاهای پیچیده وابسته

$m(t)$: تابع مقدار متوسط کل خطاهای نرم‌افزار

$m_1(t)$: تابع مقدار متوسط خطاهای ساده

$m_2(t - \varphi_1(t))$: تابع مقدار متوسط خطای پیچیده مستقل

۱۰ یک مدل تعیین یافته برای ارزیابی قابلیت اعتماد نرم افزار

تابع مقدار متوسط خطای پیچیده وابسته $m_3(t) - \varphi_2(t)$

در عمل بعضی از پذیره های کلی ارائه شده در بخش ۲ ممکن است با واقعیت مطابقت نداشته باشند. مثلاً هر زمان که شکستی رخ دهد، ممکن است تاخیر در تلاش برای حذف علت شکست وجود داشته باشد. مدل پیشنهادی در پذیره های ۲، ۱ و ۴ ارائه شده در بخش قبلی صدق می کنند. با این حال مفروضات خاص ذیل نیز در مدل لحاظ شده اند:

الف- خطاهای نرم افزار به دو دسته ساده و پیچیده تقسیم می شوند. این تقسیم بندی با توجه به میزان تلاش مورد نیاز جهت رفع آنها انجام می شود.

ب- خطاهای ساده بالا فاصله بعد از شناسایی قابل اصلاح و حذف هستند.

ج- در سیستم نرم افزاری بعد از شناسایی خطاهای پیچیده، ممکن است مدت ها تلاش برای حذف و اصلاح نیاز باشد. این نوع خطاهای خود در دو نوع مستقل و وابسته در نظر گرفته می شوند.

د- امکان حذف فوری خطاهای پیچیده مستقل وجود ندارد و برای حذف این دسته از خطاهای تلاش و زمان بیشتری نسبت به خطاهای ساده نیاز است. بنابراین زمان تاخیر $(t)\varphi_1$ برای حذف آنها تاثیر داده می شود.

ه- خطاهای پیچیده وابسته به علت وجود بعضی از خطاهای پیچیده مستقل به وجود می آیند و تا هنگامی که خطای پیچیده مستقل مربوط به آن حذف نشود قابل حذف نمی باشند. به علت تلاش مورد نیاز در حذف این دسته از خطاهای عامل تاخیر زمان قابل چشم پوشی نبوده، بدین ترتیب زمان تاخیر $(t)\varphi_2$ در اشکال زدایی آنها تاثیر داده می شود.

و- احتمال ایجاد خطاهای جدید طی فرایند اشکال زدایی وجود ندارد (اشکال زدایی کامل).

فرض کنید مرحله آزمون نرم افزار از سه فرایند مشاهده شکست، کشف خطأ و حذف خطأ تشکیل شده باشد. براساس فرض های الف و ب خطاهای نرم افزاری به سه دسته ساده، پیچیده مستقل و پیچیده وابسته تقسیم می شوند. همچنین در حین فرایند اشکال زدایی، امکان بروز خطاهای جدید وجود ندارد (فرض و). بنابراین

شیوا اختریان، طاهره یعقوبی ۱۱

تعداد کل خطاهای کشف شده در زمان (t_0, t) برابر است با

$$m(t) = m_1(t) + m_2(t - \varphi_1(t)) + m_3(t - \varphi_2(t)) \quad (3)$$

الف- مدل‌سازی حذف خطاهای ساده $m_1(t)$: براساس فرض ب، برای خطاهای ساده تاخیر زمانی بین مشاهده شکست، کشف و حذف خطا قابل چشم‌پوشی می‌باشد. با توجه به اینکه خطاهای ساده بلافرضیه بعد از مشاهده شکست توسط فرد آزمون‌کننده سیستم قابل حذف می‌باشند، بنابراین فرایند کشف و حذف آن‌ها در مدل عمومی قابلیت اعتماد (۱) با نرخ کشف خطای ثابت b_1 صدق می‌کند. با توجه به پذیره‌های این مدل خواهیم داشت.

$$\frac{dm_1(t)}{dt} = b_1[a_1 - m_1(t)] \quad (4)$$

چون $pa = a_1$ با حل معادله دیفرانسیل (۴) از طریق معادله (۲) تابع مقدار متوسط خطای کشف شده زیر ایجاد می‌شود.

$$m_1(t) = a_1(1 - e^{-b_1 t}) = pa(1 - e^{-b_1 t})$$

ب- مدل‌سازی حذف خطاهای پیچیده مستقل $m_2(t)$: در هنگام بروز خطاهای پیچیده، تیم آزمون‌کننده نرم‌افزار نیاز به زمان بیشتری جهت کشف عملت خطای سپس حذف آن دارد (فرض ج). در مورد خطاهای پیچیده مستقل تاخیر زمانی بین شناسایی یک خطا تا حذف آن قابل چشم‌پوشی نمی‌باشد (فرض د). برای این نوع خطاهای نیز می‌توان از مدل عمومی قابلیت اعتماد استفاده کرد، با این حال لازم است عامل تاخیر زمان را در فرایند اشکال‌زدایی تاثیر داد. با فرض این که مقدار متوسط خطاهای مستقل شناسایی شده مناسب با تعداد خطاهای مستقل باقیمانده در سیستم باشد، داریم:

$$\frac{dm_2(t)}{dt} = b_2[a_2 - m_2(t)] \quad (5)$$

که در آن $a_2 = (1 - p)qa$ با حل معادله دیفرانسیل (۵) در شرایط $t_0 = 0$ خواهیم داشت:

$$m_2(t) = a_2(1 - e^{-b_2 t}) = (1 - p)qa(1 - e^{-b_2 t}) \quad (6)$$

۱۲ یک مدل تعمیم یافته برای ارزیابی قابلیت اعتماد نرم افزار

با توجه به افزایش مهارت و یادگیری تیم آزمون کننده نرم افزار، عامل تاخیر زمان در اشکال زدایی خطاهای پیچیده مستقل را تابع صعودی $\varphi_1(t)$ درنظر گرفته، آن را در معادله (۶) تاثیر می دهیم.

$$\varphi_1(t) = \left(\frac{\ln(1 + b_1 t)}{b_1} \right)$$

بنابراین

$$m_2(t - \varphi_1(t)) = (1 - p)qa[1 - (1 + b_2 t)e^{-b_2 t}]$$

که همان معادله مدل S شکل تاخیری است.

ج - مدل سازی حذف خطاهای پیچیده وابسته $m_3(t)$: براساس فرض ه، امکان حذف این نوع خطاهای قبلاً از آن که خطاهای پیچیده مستقل، که تولید کننده آنها هستند، بر طرف نشوند وجود ندارد. بنابراین مدل عمومی قابلیت اعتماد برای این نوع خطاهای مستقیماً قابل به کارگیری نیست (فرض ۳ برقرار نمی باشد). در این حالت مقدار متوسط خطاهای پیچیده وابسته کشف شده در سیستم مناسب با تعداد خطاهای پیچیده وابسته باقیمانده در سیستم و مقدار متوسط خطاهای پیچیده مستقل می باشد. بنابراین با قرار دادن

$$\frac{dm_3(t)}{dt} = b_3[a_3 - m_3(t)] \frac{m_2(t - \varphi_1(t))}{a_2 + a_3} \quad (V)$$

داریم $a_3 = (1 - p)(1 - q)a$ و از حل معادله (V) خواهیم داشت:

$$\begin{aligned} m_3(t) &= a_3 [1 - \exp\left(\frac{-a_2 b_3 (b_2 t + 2e^{-b_2 t} + b_2 t e^{-b_2 t} - 2)}{b_2(a_2 + a_3)}\right)] \\ &= (1 - p)(1 - q)a [1 - e^{\frac{-(1-p)qa b_3(b_2 t + 2e^{b_2 t} + b_2 t e^{-b_2 t} - 2)}{b_2((1-p)a)}}] \end{aligned} \quad (A)$$

با توجه به زمان مورد نیاز در حذف و اشکال زدایی خطاهای پیچیده وابسته، عامل تاخیر زمان $\varphi_2(t)$ در معادله (A) تاثیر داده می شود و معادله نهایی خطاهای پیچیده وابسته به صورت زیر حاصل می شود.

$$\varphi_2(t) = \left(\frac{\ln(1 + b_2 t)}{b_2} \right)$$

شیوا اختریان، طاهره یعقوبی^۱

$$\begin{aligned} m_{\gamma}(t - \varphi_{\gamma}(t)) &= a_{\gamma}[1 - \exp\left(\frac{-a_{\gamma}b_{\gamma}(b_{\gamma}(t - \varphi_{\gamma}(t)) + 2e^{-b_{\gamma}(t - \varphi_{\gamma}(t))}}{b_{\gamma}(a_{\gamma} + a_{\gamma})}\right. \\ &\quad \left.+ \frac{b_{\gamma}(t - \varphi_{\gamma}(t)) - 2}{b_{\gamma}(a_{\gamma} + a_{\gamma})}\right)] \\ &= (1-p)(1-q)a[1 - \exp(-(1-p)qab_{\gamma}(b_{\gamma}(t - \varphi_{\gamma}(t)) \\ &\quad + 2e^{-b_{\gamma}(t - \varphi_{\gamma}(t)) + b_{\gamma}(t - \varphi_{\gamma}(t))e^{-b_{\gamma}(t - \varphi_{\gamma}(t))} - 2b_{\gamma}((1-p)a))] \end{aligned}$$

بنابراین با درنظر گرفتن معادله (۳) تابع مقدار متوسط کل خطاهای نرم‌افزار عبارت
خواهد شد از

$$\begin{aligned} m(t) &= pa(1 - e^{-b_1 t}) + (1-p)qa[1 - ((1+b_2 t)e^{-b_2 t}] \\ &\quad + (1-p)(1-q)a[1 - \exp\left(\frac{-(1-p)qab_{\gamma}(b_{\gamma}(t - \varphi_{\gamma}(t))}{b_{\gamma}((1-p)a)}\right. \\ &\quad \left.+ \frac{2e^{-b_{\gamma}(t - \varphi_{\gamma}(t))} + b_{\gamma}(t - \varphi_{\gamma}(t))e^{-b_{\gamma}(t - \varphi_{\gamma}(t))} - 2}{b_{\gamma}((1-p)a)}\right)] \end{aligned}$$

۴ برازش مدل

مدل پیشنهادی با مجموعه داده‌های شکست نرم‌افزار فرماندهی و کنترل زمان واقعی
که توسط موسی و همکاران (۱۹۸۷) گزارش شده است (جدول ۲)، تطبیق داده شد،
اندازه تابع مقدار میانگین، تعداد خطاهای باقیمانده و قابلیت اعتماد سیستم
برآورد شد. براساس داده‌های شکست ارائه شده در جدول ۲ ابتدا پارامترهای مدل
پیشنهادی، مدل گوئل-آکوموتو و مدل S شکل تاخیری به روش MLE و با نرم‌افزار
MATLAB 2012 برآورد شده و نتایج در جدول ۳ ارائه شده است.

اکنون با توجه به برآوردهای به دست آمده می‌توان تابع مقدار متوسط، تعداد
خطاهای باقیمانده در نرم‌افزار و قابلیت اعتماد نرم‌افزار در بازه زمانی کوچکی
همچون $(t, t + 0/1)$ را برآورد کرد و زمان خاتمه آزمون نرم‌افزار را مشخص نمود.
به عنوان مثال فرض کنید زمان عرضه نرم‌افزار به بازار زمانی است که تعداد خطاهای
باقیمانده در آن کمتر از ۱۰ باشد، در این صورت می‌توان آزمون این نرم‌افزار را در
ساعت ۲۴ام خاتمه داد. قابلیت اعتماد محصول نهایی برای ارائه به بازار در بازه

یک مدل تعیین‌یافته برای ارزیابی قابلیت اعتماد نرم‌افزار ۱۴

جدول ۲: مجموع داده شکست نرم‌افزار فرماندهی و کنترل زمان واقعی

مشاهده شده	مشاهده شده	تعداد خطای	زمان (ساعت)
۲۷	۲۷	۱	
۴۳	۱۶	۲	
۵۴	۱۱	۳	
۶۴	۱۰	۴	
۷۵	۱۱	۵	
۸۳	۷	۶	
۸۴	۲	۷	
۸۹	۵	۸	
۹۲	۳	۹	
۹۳	۱	۱۰	
۹۷	۴	۱۱	
۱۰۴	۷	۱۲	
۱۰۶	۲	۱۳	
۱۱۱	۵	۱۴	
۱۱۶	۵	۱۵	
۱۲۲	۶	۱۶	
۱۲۲	۰	۱۷	
۱۲۷	۵	۱۸	
۱۲۸	۱	۱۹	
۱۲۹	۱	۲۰	
۱۳۱	۲	۲۱	
۱۳۲	۱	۲۲	
۱۳۴	۲	۲۳	
۱۳۵	۱	۲۴	
۱۳۶	۱	۲۵	

جدول ۳: برآورد پارامترهای مدل پیشنهادی، گوئل-آکوموتو و S شکل تاخیری

استاندارد	استاندارد	پارامتر	برآورد	واریانس	خطای	مدل	پیشنهادی
۱۲/۳۴	۱۵۲/۳۹	۱۴۴	a				
۰/۰۶	۰/۰۰۳	۰/۳۷	b _۱				
۰/۰۱	۰/۰۰۰۴	۰/۱۰	b _۲				
۰/۰۲	۰/۰۶	۰/۹۹	b _۳				
۰/۰۵	۰/۰۰۲	۰/۵۷	p				
۰/۱۴	۰/۰۲۲	۰/۴۴	q				
۱۱/۷۴	۱۴۸/۸۳	۱۴۲	a				
۰/۰۱	۲/۰۸۶۵e ^{-۰۴}	۰/۱۲	b			گوئل-آکوموتو	
۱۲/۱۹	۱۳۷/۸۳	۱۳۶	a				
۰/۰۱	۳/۴۱۲۵e ^{-۰۴}	۰/۲۸	b			S شکل تاخیری	

شیوا اختریان، طاهره یعقوبی ۱۵.....

زمانی کوتاه بعد از آن، ($25/1$ و 25)، حدود $0/9$ است. جدول ۴ اطلاعات فرایند آزمون نرم افزار سیستم فرماندهی و کنترل زمان واقعی، تطبیق داده شده با مدل پیشنهادی در زمان های 17 تا 25 آزمون، جهت تعیین زمان عرضه آن به بازار را ارائه می دهد. همچنین ماتریس اطلاع فیشر مدل به صورت

$$I(\theta) = \begin{bmatrix} 74/99 & 0/019 & 0/035 & -0/059 & -0/003 & 0/016 \\ 0/019 & 0/006 & 0/001 & -0/006 & -0/004 & 0/003 \\ 0/035 & 0/001 & 0/001 & -0/007 & -0/001 & 0/002 \\ -0/059 & -0/006 & -0/007 & 0/181 & 0/010 & -0/059 \\ -0/003 & -0/004 & -0/010 & 0/010 & 0/005 & -0/004 \\ 0/016 & 0/003 & 0/002 & -0/059 & -0/004 & 0/027 \end{bmatrix}$$

است، که در آن $\theta = (a, b_1, b_2, b_3, p, q)$ است.

جدول ۴: اطلاعات کسب شده پس از هر بار آزمون نرم افزار فرماندهی و کنترل زمان واقعی برای تعیین زمان عرضه آن به بازار

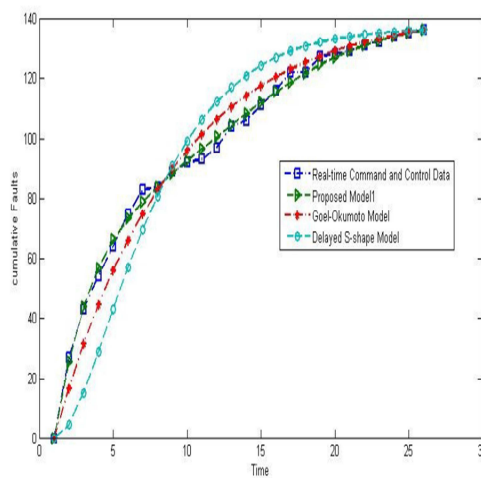
$R(0/1 t)$	$\hat{a} - \hat{m}(t)$	\hat{a}	$\hat{m}(t)$	آزمون تا زمان
$0/727$	$78/163$	$198/368$	$122/205$	17
$0/680$	$49/680$	$176/680$	$127/000$	18
$0/764$	$24/132$	$152/134$	$127/997$	19
$0/819$	$15/412$	$144/409$	$128/997$	20
$0/838$	$13/881$	$144/882$	$131/001$	21
$0/869$	$10/459$	$142/459$	$132/000$	22
$0/877$	$11/119$	$145/124$	$134/005$	23
$0/896$	$9/075$	$144/078$	$135/002$	24
$0/911$	$7/964$	$143/967$	$136/003$	25

۵ مقایسه مدل پیشنهادی

در این بخش مدل پیشنهادی با مدل گوئل-آکوموتو و مدل S شکل تاخیری پیش‌بینی قابلیت اعتماد نرم افزار که جزئیات بیشتر آنها در جدول ۱ ارائه شده است مقایسه می شود. مقایسه مدل‌ها می تواند توسط نمودارهای تطبیق مدل‌ها با مجموعه داده‌های شکست نرم افزارها نمایش داده شود. شکل ۱ نمودار تطبیق مدل پیشنهادی

۱۶ یک مدل تعمیم یافته برای ارزیابی قابلیت اعتماد نرم افزار

و دو مدل مذکور را بروی مجموعه داده شکست نرم افزار فرماندهی و کنترل زمان واقعی نشان می‌دهد. همان‌گونه که ملاحظه می‌شود، مدل پیشنهادی به خوبی بر



شکل ۱: نمودار مقایسه تطبیق مدل پیشنهادی، گوئل-آکوموتو و S شکل تاخیری روی مجموعه داده شکست نرم افزار فرماندهی و کنترل زمان واقعی

روی مجموعه داده شکست نرم افزار فرماندهی و کنترل زمان واقعی منطبق گردیده است.

برای مقایسه دقیق مدل‌ها می‌توان از سه معیار نرخ پیش‌بینی ریسک^۸ (PRR)، مجموع توان‌های دوم خطای^۹ (SSE) و متوسط توان‌های دوم خطای^{۱۰} (MSE) که به صورت

$$\begin{aligned} PRR &= \sum_{i=1}^n \left(\frac{m(t_i) - y_i}{m(t_i)} \right)^2 \\ SSE &= \sum_{i=1}^n (y_i - m(t_i))^2 \\ MSE &= \sum_{i=1}^n \frac{(m(t_i) - y_i)^2}{n} \end{aligned}$$

^۸ Predictive-Ratio Risk

^۹ Sum of Squared Errors

^{۱۰} Mean Squared Errors

۱۷.....شیوا اختریان، طاهره یعقوبی

تعریف می‌شوند، استفاده نمود، که در آن y_i تعداد کل خطاهای مشاهده شده در زمان t_i ، $m(t_i)$ مجموع خطای تخمین زده شده در زمان t_i و n تعداد مشاهدات است.

جدول ۵ مقادیر سه معیار PPR، SSE و MSE در مدل‌های پیشنهادی، گوئل-آکوموتو و S شکل تاخیری را بر روی مجموعه داده‌ی شکست نرم‌افزار فرماندهی و کنترل زمان فرماندهی و کنترل زمان واقعی نشان می‌دهد.

جدول ۵: برآورد معیارها برای مقایسه روش پیشنهادی با مدل‌های گوئل-آکوموتو و S شکل تاخیری روی مجموعه داده‌ی شکست نرم‌افزار فرماندهی و کنترل زمان واقعی

مدل S شکل تاخیری	مدل نمایی	مدل پیشنهادی	معیار
۲۸/۵۱	۰/۶۴	۰/۰۱۳	PPR
۴۲۱۷/۹	۹۰۳/۲۷	۸۴/۵۴	SSE
۱۶۸/۲۱	۳۶/۱۳	۴/۰۲۵	MSE

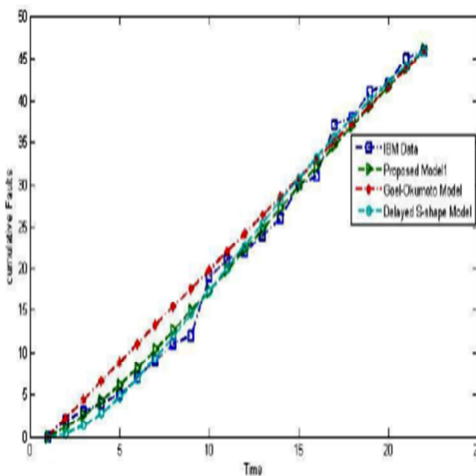
همان‌طور که ملاحظه می‌شود مدل پیشنهادی بر روی مجموعه داده‌های ذکر شده برازش خوبی داشته، بهتر از دو مدل مذکور عمل می‌کند.

در ادامه مدل تعمیم‌یافته در این تحقیق با دو مدل مذکور با استفاده از مجموعه داده‌ای که از آزمون بسته نرم‌افزاری ورود اطلاعات برخط شرکت IBM، توسط اهبا (۱۹۸۴) به دست آمده است مقایسه و نتایج در جدول ۶ و شکل ۲ ارائه شده است.

جدول ۶: برآورد معیارها برای مقایسه روش پیشنهادی با مدل‌های گوئل-آکوموتو و S شکل تاخیری روی مجموعه داده IBM

مدل S شکل تاخیری	مدل نمایی	مدل پیشنهادی	معیار
۲۲/۲۲	۱/۰۴	۰/۰۲۱	PPR
۳۳/۸۸	۱۷۰/۸۲	۳۰/۰۵۰	SSE
۱/۶۸	۸/۱۳	۱/۰۶۹	MSE

یک مدل تعمیم یافته برای ارزیابی قابلیت اعتماد نرم افزار ۱۸



شکل ۲: مقایسه تطبیق روش پیشنهادی با مدل گوئل-آکوموتو و مدل S تاخیری بر روی مجموعه داده IBM

۶ بحث و نتیجه‌گیری

مدل‌های رشد قابلیت اعتماد نرم افزار برای اندازه‌گیری قابلیت اعتماد و کنترل فرایند آزمون نرم افزار مورد استفاده قرار گرفته‌اند. بعضی از مقیاس‌ها مانند تعداد خطاهای اولیه، شدت شکست، قابلیت اعتماد در یک دوره زمان خاص، تعداد خطاهای باقیمانده در نرم افزار، متوسط زمان بین شکست‌ها و متوسط زمان رسیدن به شکست توسط SRGM‌ها تعیین می‌شوند. مدل جدید رشد قابلیت اعتماد ارائه شده در این مقاله خطاهای نرم افزاری را به سه دسته خطاهای ساده، خطاهای پیچیده مستقل و خطاهای پیچیده وابسته تقسیم کرده، تاثیر عامل تاخیر زمان در حذف و اصلاح خطاهای پیچیده را مورد توجه قرار داده است. نتایج حاصل از جداول و نمودارهای تطبیق مدل پیشنهادی با مجموعه داده IBM نشان می‌دهد مفروضات مدل پیشنهادی به واقعی و مجموعه داده‌های شکست IBM نشان می‌دهد منطقی تری جهت ارزیابی آنچه در جهان واقعی رخ می‌دهد نزدیکتر بوده، پاسخ منطقی تری جهت ارزیابی تعداد خطاهای باقیمانده در نرم افزار و تخمین وارزیابی قابلیت اعتماد نرم افزار ارائه می‌کند. بنابراین اطلاعات دقیق‌تری درباره کیفیت نرم افزار یا زمان عرض محصول

شیوا اختربان، طاهره یعقوبی ۱۹

به بازار در اختیار می‌گذارد. در پایان پیشنهاد می‌شود مدل فوق با در نظر گرفتن احتمال بروز خطاهای جدید حین اشکال‌زدایی، به واقعیت نزدیک‌تر شوند.

مراجع

- Goel, A. L. (1985), Software Reliability Models: Assumptions, Limitations and Applicability, *IEEE Trans. On Software Engineering*, **11**, 1411-1423.
- Goel, A. L. and Okumoto, K. (1981), Optimal Release Time for Software Systems Based on Reliability and Cost Criteria, *Journal of Systems and Software*, **1**, 315-318.
- Huang, C. Y. and Lin, C. T. (2004), Software Reliability Growth Models Incorporating Fault Dependency with Various Debugging Time Lags, Proceedings of the 28th Annual International Computer Software and Application Conference, Hong Kong, China, 186-191.
- Huang, C. Y. and Lin, C. T. (2006), Software Reliability Analysis by Considering Fault Dependency and Debugging Time Lag, *IEEE Trans on Reliability*, **55**, 436-450.
- Kapour, P. K., Garg, R. B. and Kumar, S. (1999), *Contributions to Hardware and Software Reliability*, Word Scientific, Singapore.
- Kapour, P. K., Pham, H., Gupta, A. and Jha, P. C. (2011), *Software Reliability Assessment with or Applications*, Springer-Verlag, London.
- Kapour P. K. and Younes, S.(1995), Software Reliability Growth Model with Error Dependency, *Microelectron.Reliab.*, **35**, 273-278.

یک مدل تعمیم یافته برای ارزیابی قابلیت اعتماد نرم افزار ۲۰

Lie, R. and Garg, M. (2012), A Detailed Study of NHPP Software Reliability Models, *Journal of Software*, **7**, 1296-1305.

Musa, J. D., Lannino, A. and Okumoto, K. (1987), *Software Reliability: Measurement, Prediction and Application*, McGraw-Hill, New York.

Ohba, M. (1984), Software Reliability Analysis Models, *IBM Journal of Research and Development*, **28**, 428-443.

Pham, H. (2006), *System Software Reliability*, Springer Series in Reliability Engineering, London.

Yamada, S. (2000), Software Reliability Models and Their Applications: A Survey, In: *Proceedings of the International Seminar on Software Reliability of Man-Machine Systems*, Kyoto University, Japan, 56-80.

Yamada, S. (2014), *Software Reliability Modeling: Fundamentals and Applications*, Springer.

Yamada, S., Ohba, M. and Osaki, S. (1983), S-Shaped Reliability Growth Modeling for Software Error Detection, *IEEE Trans. On Reliability*, **32**, 475-484.

Yamada, S., Ohba, M. and Osaki, S. (1984), S-Shaped Software Reliability Growth Models and Their Applications, *IEEE Trans. On Reliability*, **33**, 289-292.

Yamada, S., Tokunou, K. and Osaki, S. (1992), S-Imperfect Debugging Models with Fault Introduction Rate for Software Reliability Assessment, *International Journal of System Science*, **23**, 2241-2252.

Zacks, S. (1992), *Introduction to Reliability Analysis*, Springer-Verlag, London.